

## B2型 $\text{Co}_2\text{FeSi}_{0.5}\text{Al}_{0.5}/\text{MgO/Si}$ スピン注入源の作製と評価

川目悠<sup>1</sup>, 悪七泰樹<sup>1</sup>, 周藤悠介<sup>1</sup>, 高村陽太<sup>2</sup>, 菅原聰<sup>1</sup>

(<sup>1</sup>東工大院像情報, <sup>2</sup>東工大電子物理)

Preparation and characterization of a B2-ordered  $\text{Co}_2\text{FeSi}_{0.5}\text{Al}_{0.5}/\text{MgO/Si}$  spin injector

Y. Kawame<sup>1</sup>, T. Akushichi<sup>1</sup>, Y. Shuto<sup>1</sup>, Y. Takamura<sup>2</sup>, and S. Sugahara<sup>1</sup>

(<sup>1</sup>Imaging Sci. and Eng. Lab, Tokyo Inst. of Tech., <sup>2</sup>Dept. of Physical Electronics, Tokyo Inst. of Tech.)

### はじめに

近年, 低消費電力集積回路のキーデバイスとして, MOSFET型のスピントランジスタであるスピニMOSFETが注目されている[1]。スピニMOSFETを実現するためには, スピニ注入および検出の高効率化が重要となる。ハーフメタル・フルホイスラー合金  $\text{Co}_2\text{FeSi}_{1-x}\text{Al}_x$ (CFSAs)は, B2構造でも十分なハーフメタル性を示し[2], また室温に比べてキュリー温度(~1100K)が十分に高く, さらにSiとのバリアハイドを十分に低減させることができるのであるため, Siチャネルに対する高効率スピニ注入源の強磁性電極として極めて有望である[3]。今回, 我々はSiチャネルへのスピニ注入源として実績のあるMgOトンネルコンタクト上に, 分子線堆積(MBD)法を用いて高品質CFSAs薄膜の形成を実現した。さらに, CFSAs/MgO/Si接合をスピニ注入源とする3端子スピニ蓄積デバイスを作製し, スピニ注入・抽出の評価を行った。

### 実験方法

作製したサンプル構造は CFSAs(30nm)/MgO(3nm)/n<sup>+</sup>-Si( $4 \times 10^{19} \text{ cm}^{-3}$ )である。サンプルは, MBD/ラジカル酸化/スペッタ装置を超高真空下で接続したマルチチャンバーシステムを用いて, 真空一貫で作製した。MgOは, マグネットロンスペッタを用いてSi基板にMgを1.5nm堆積し, 室温でラジカル酸化を行った後, ラジカル酸素を照射しながらアニールを行うことにより膜質を改善した。次に, MBD法により  $\text{Co}_2\text{FeSi}_{0.5}\text{Al}_{0.5}$ を基板温度400°Cで堆積した。スピニ注入源の構造評価は, XPS, XRD(規則度の解析には本研究室考案の拡張Websterモデル[4]を用いた), TEMを用いた。また, スピニ注入の評価は, 3端子スピニ蓄積デバイスを作製し, 蓄積スピニのHanle効果測定を用いた。

### 実験結果

まず, XPSによって界面構造の評価を行った。MgOとSiの界面にサブオキサイドがMgOの室温形成時から存在したが, 400°Cまでのラジカル酸素アニールでも変化せず, この界面構造は安定であることがわかった(Siの酸化は進まない)。次に, 400°Cでラジカル酸素アニールを施したサンプル上にMBD法により, CFSAsを堆積した。XRDによる極点図解析から, CFSAsが面内無配向の(100)配向柱状多結晶であることを確認した。また, 明瞭な(200)規則格子線が観測され(Fig.1), CFSAsが少なくともB2構造を有していることがわかった。拡張Websterモデルを用いて算出したB2規則度は約63%であった。TEM観察から, CFSAs薄膜は柱状配向した多結晶であることを確認した。この結果はXRDと一致した。また, MgO/Si界面には, 大きなラフネスは観測されず, 急峻な界面が形成されていることがわかった(Fig.2)。次に, CFSAs/MgO/Siをスピニ注入源とする3端子スピニ蓄積デバイスを作製し, Hanle効果の測定を行った(Fig.3)。スピニ抽出測定では, 明瞭なHanle信号が得られたが, スピニ注入測定では得られなかった。抽出側で得られたHanle信号は, ローレンツ関数ではフィッティングすることは出来ず, Siチャネルに蓄積したスピニを表現できる解[5]をローレンツ関数と重ね合わせることでフィッティングが可能となった。この結果は, CFSAs/MgO/Siトンネル接合を用いたスピニ抽出の実現を示唆するものである。

### 参考文献

- (1)S. Sugahara, IEE Proc. Circuits Devices Syst. **152**, 355 (2005).
- (2)T.M.Nakatani et al., J. Appl. Phys. **102**, 033916 (2007).
- (3)Y. Kawame et al., the 12th Joint MMM-Intermag Conference, paper EI-06 (2013).
- (4)Y. Takamura, et al., J. Appl. Phys. **105**, 07B109 (2009).
- (5)Y. Takamura, et al., J. Appl. Phys. **115**, 17C307 (2014).

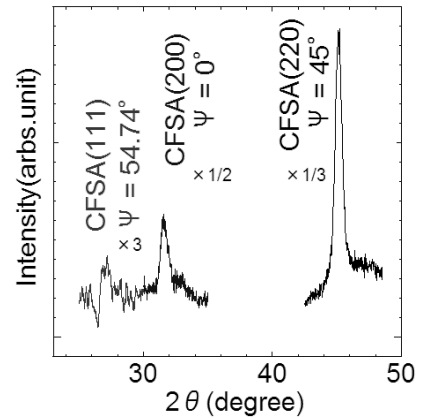


Fig. 1 XRD superlattice lines for a CFSAs film formed on a high quality MgO/Si structure.

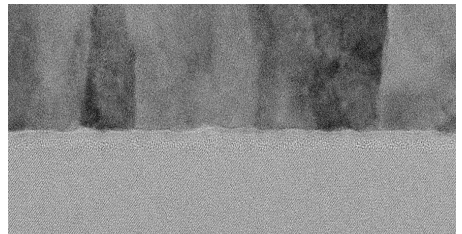


Fig. 2 TEM image of the fabricated CFSAs/MgO/Si structure

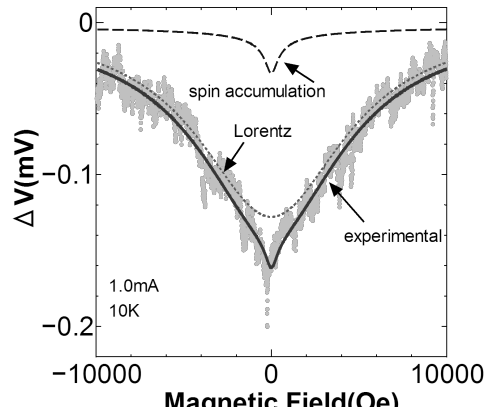


Fig. 3 Hanle-effect signal and its fitting curve